

中国科学院光学精密机械研究所

# 机械制造论文汇编

1

科学出版社

中国科学院光学精密机械研究所

# 机 械 制 造 论 文 汇 编

1

张 作 梅 主 編

科 学 出 版 社

1 9 6 3

## 內 容 簡 介

本书包括压力加工、机械强度、材料强度、摩擦磨损、切削和机械制造材料等方面的研究論文 17 篇，是中国科学院光学精密机械研究所和原中国科学院机械研究所几年来进行的研究工作的一部分。

有些論文是关于采用新技术来研究国产材料的結果，如利用放射性同位素研究国产硼合金鋼的可切削加工性；有些論文是結合我国特点来研究材料問題，如无鉻与低鉻高速鋼、低合金高强度鋼、水輪机叶片材料、竹材塑料等；有些論文是关于新結構、新设备和新材料的研究，特別是其应力分析和材料强度的研究，如水輪机頂蓋、叶片和主軸模型的研究，三輥横向周期軋机的研究，球墨鑄鐵的疲劳强度等；有些論文是涉及比較基本的理論性問題，如金属在均匀压缩下的应力应变关系，橫鍛及橫軋中金属的变形与破裂的研究等。

本书可供从事于机械設計和制造的科学硏究、工程技术和教学人員参考。

## 機械製造論文汇編

1

張作梅 主編

\*

科 學 出 版 社 出 版 (北京朝阳門大街 117 号)  
北京市书刊出版业营业許可證出字第 061 号

中国科学院印刷厂印刷 新华书店总經售

\*

1963 年 12 月第 一 版 书号：2916 字数：285,000  
1963 年 12 月第一次印刷 开本：787×1092 1/16  
(京) 0001—3,000 印张：12 1/4 插页：12

定价：2.40 元

## 前 言

本书收集的有关机械設計、制造和材料的 17 篇論文是中国科学院光学精密机械研究所和原中国科学院机械研究所几年来进行的研究工作的一部分。

在压力加工方面，“金属在均匀压缩下的应力应变关系”是多年来国内外学者所注意的中心問題之一。作者以比較严谨的实验得出了金属在線压应力状态下的应力应变关系，从而澄清了前人工作中一些相互矛盾的結果，为設計压力加工设备和拟訂压力加工規范提供了基本的参考数据。

橫軋近年来在生产上获得了很大的发展和广泛的应用。橫軋的关键在于掌握軋件的变形和中心破裂的規律，因此在“橫鍛及橫軋时金属的变形与破裂的研究”一文中描述了在橫鍛和橫軋中作者进行的系統实验工作，找出了一些变形的分布和破裂的发生和发展規律，对橫鍛和橫軋中金属的变形和破裂机理有了进一步的了解。

“在三輶横向周期軋机上軋制紡織錠杆毛坯的研究”是在一生产設备上研究了若干主要工艺参数对紡織錠杆毛坯的組織和性能的影响，并对毛坯的主要缺陷进行了分析研究，对指导生产实践有一定的意义。

“三輶横向螺旋軋机若干参数的研究”主要是針對文献資料上有关軋輶尺寸、輶型設計角、压下系数、金属对軋輶的压力和軋制力矩等的計算公式和决定方法进行了分析，指出其不完善或謬誤的地方，并提了修正意見，或补充推导了計算公式，以供設計制造这些軋机时参考。

“鎳鉻錳无磁性鋼压力加工的研究”主要是針對奧氏体类型鋼在中温下如何提高其机械性能指标而又能变形抗力最小的情况下进行压力加工。这对于压力加工这一类型的鋼种提供了比較系统的变形抗力和机械性能的資料。

“鋼-鋁基軸承合金双金属板軋制的研究”中除了系統地研究了造成紧密粘結的工艺参数外，对于各种因素对粘結影响的机理亦进行了分析討論。

在应力分析方面的三篇文章都是結合水輪机进行研究的結果。“混流式水輪机工作輪叶片的应力分析”中把叶片作为空間曲杆进行計算，并以单个叶片模型进行了測定，找出了最好的模拟加载系統，为設計新型工作輪和在电站水輪机上測定应力应变时选择測点的位置提供了参考資料。

在“水輪机頂蓋模型試驗”中描繪了用有机玻璃主体模型来确定水輪机頂蓋的应力分布規律和最大应力和位移的分布区域。为了探討頂蓋加強筋上孔的形状及尺寸对应力分布的影响，还进行了平面光弹性模型試驗。这一工作对設計水輪机頂蓋有一定参考价值。

为了确定水輪机主軸法兰过渡部分的应力集中及应力分布情况，采用三維冻结光弹

性法可以得到不同过渡形式的应力分布及大小的数据，从而确定最好的过渡形式。因此“水輪机主軸的光弹性应力分析”一文不但可以解决設計上的一个实际問題，同时对于三維冻结光弹性法的应用亦有参考价值。

“疲劳強度若干問題的研究”实际上是三篇文章。第一篇是研究如何利用适当安排孔的位置以改进应力分布及減低应力集中，从而提高零件的疲劳強度。第二篇文章是关于各种情况下——不同表面光洁度、有盲孔及具有強化后的盲孔——球墨鑄鐵的疲劳強度，結果发现局部強化法对于提高該材料的疲劳強度效果相当显著。第三篇文章是关于球墨鑄鐵在高温下的疲劳和长期強度的研究。作者发现在 500°C 以下时該材料尚有較高的疲劳強度。在 500°C 时，該材料的同样寿命的疲劳強度要比长期強度高。

在軸承材料方面，“竹材塑料”着重研究了其制备方法和其各种性能以及在軋鋼机軸承中初步运轉試驗的結果。看来这是一种很有希望的軸承材料，可以繼續研究和部分推广試用。“25 种銅基減摩合金摩擦磨損性能的鉴定”一文，对于解决我国銅基減摩合金种目繁多、牌号杂乱的問題，提供了系統的参考数据。

“利用放射性刀具研究国产硼合金鋼的可切削加工性”一文，除了对这些鋼种的可切削加工性进行了系統鉴定外，对于这一新技术在我国的应用也提供了一些实际的經驗，特別是用溶化法来进行刀具磨損量的絕對定度对快速精确地确定刀具的磨損是有帮助的。

材料方面的四篇文章都是对新鋼种的研究，其中“无鉻与低鉻高速鋼的研究”一文着重研究了 Mn, Si, W 等元素对等温轉变特性和淬硬性的影响，最后推荐了两种 W9 和 W15 型材料作为进一步研究和生产試驗之用。

“高強度低合金鋼的研究”一文中研究了一系列的錳-鈦-銅鋼，最后得出了一种屈服強度超过 50 公斤/毫米<sup>2</sup>，焊接后不需热处理的鋼种，为重型、高速运轉机械的結構材料提供了一种新鋼种。

“水輪机叶片材料的研究”目的是想找到几种耐磨損、耐气蝕和有高綜合机械性能指标的鑄造材料，以供制造水輪机叶片之用。最后得出了  $\sigma_s \geq 55$  公斤/毫米<sup>2</sup> 和  $\sigma_u \geq 70$  公斤/毫米<sup>2</sup> 耐气蝕性、耐泥沙磨損性和焊接性能良好的鋼种，对于水輪机的設計制造均有一定的参考价值。

本书收集的各篇論文，绝大部分均与产业部門的研究机构或工厂有协作关系，我們在研究过程中得到了他們很多的支持和帮助，謹此致以深切的謝意！

本书的各篇論文曾由秦曾志、蔡安源、熊大達同志参与审定工作。

由于我們水平有限，文中不妥当或錯誤的地方在所难免，希望同志們提出宝贵意見，以便改进我們的工作。

張作梅

1963 年 3 月 12 日

## 目 录

前言.....	( v )
金属在均匀压缩下的应力应变关系.....	张作梅 徐有容 ( 1 )
横锻及横轧时金属的变形与破裂的研究.....	张作梅 黎俊结 ( 13 )
在三辊横向周期轧机上轧制纺织锭杆毛坯的研究.....	黎俊结 张作梅 ( 38 )
三辊横向螺旋轧机若干参数的研究.....	黎俊结 ( 53 )
镍铬锰无磁性钢压力加工的研究.....	张作梅、徐有容、徐作华、高子明 ( 70 )
钢-铝基轴承合金双金属板轧制的研究.....	张作梅 林 陶 ( 80 )
混流式水轮机工作轮叶片的应力分析.....	王鍾球、郎奎亨、顾伯伟、陆 巍 ( 90 )
水轮机顶盖模型试验.....	陈楚康、姚俊杰、季鍾霖、常玉兰 ( 107 )
水轮机主轴的光弹性应力分析.....	季鍾霖、严国荣、荆宝全、张卫一 ( 118 )
疲劳强度若干問題的研究	
一、多孔試样的疲劳强度.....	单藩圻、孙鍾英、曾錦光 ( 127 )
二、采用局部强化提高球墨鑄铁的疲劳强度.....	单藩圻、周順深、曲向春 ( 129 )
三、球墨鑄铁在較高温下的疲劳强度.....	周順深、单藩圻、曲向春 ( 131 )
竹材塑料——竹层压塑料在轧钢机轴承中的应用.....	胡紹衣 馬长吉 ( 135 )
25 种铜基减摩合金摩擦磨损性能的鉴定 .....	胡紹衣 孙致魁 ( 142 )
利用放射性刀具研究国产硼合金钢的可切削加工性.....	
.....	熊大達、何惟誠、赵明晶、邹德春、段淑賢 ( 153 )
无铬与低铬高速钢的研究.....	蔡安源、杜树芳 ( 163 )
高強度低合金钢的研究.....	蔡安源、杜树芳 ( 179 )
水轮机叶片材料的研究(一).....	李 周、虞克勤、康 儒 ( 189 )
水轮机叶片材料的研究(二).....	李 周、康 儒 ( 207 )

# 金屬在均匀壓縮下的應力應變關係

張作梅 徐有容

## 摘要

為了尋找在均勻壓縮下金屬的應力應變關係，我們系統地試驗了具有不同端面形狀的試樣。結果找出了一種端面具有凹槽的試樣，可以保持試樣與壓板間的潤滑作用直至 50% 以上的壓縮率，因此可以獲得均勻的壓縮變形。為了證明壓縮變形是均勻的，我們採取了 9 種宏觀和微觀的觀察方法。這些方法均一致地證明了用上述試樣可以獲得真正的均勻壓縮變形。

採用上述試樣，我們成功地求出了鉛、鋁、銅、阿姆可鐵、低碳鋼、重軌鋼、碳素工具鋼和球墨鑄鐵 8 種金屬，在均勻壓縮下的真應力真應變關係曲線。同時還將這些曲線與抗張試驗的真應力真應變曲線作了比較。結果表明：

1. 除球墨鑄鐵外，其他金屬的抗張和均勻壓縮曲線均很接近或重合一致（鋁、低碳鋼），但球墨鑄鐵則有較大的差別；
2. 不均勻變形和摩擦力的作用提高了金屬的變形抗力；
3. 除鉛外（其變形抗力在壓下率為 12% 以上均保持了一定不變的數值），其餘各金屬的變形抗力均隨變形量的增大而增高，但其加工硬化率則有所不同：一般在 25% 壓下率以下有較高的加工硬化率，而 25% 以上則硬化率較小而趨向一穩定的數值。

文中還詳細分析討論了前人的結果並對前人結果中的矛盾現象作了解釋。

## 一、引論

金屬在均勻壓縮下的應力應變關係是金屬的強度和其塑性的最基本數據之一。它是設計壓力加工設備和擬訂壓力加工規範的基礎。它決定於金屬的本質，但亦受外在因素的影響而發生變化。由於在壓縮試驗中，試樣的端面和壓板間存在着摩擦力，因此很難得到均勻的壓縮變形，而最基本的應力應變關係便不可得。目前很多強度和壓力加工過程的計算只得採用由抗張試驗求得的應力應變關係數據。但是由於縮頸的發生，抗張試驗一般只能在 40% 延伸率之內得到均勻的拉伸變形。此外金屬在張應力和壓應力作用下的變形抗力是否完全一致，在目前均勻壓縮下的應力應變關係尚未求出之前，仍然是沒有解決的問題。因此採用抗張試驗的結果，在壓力加工的計算上便受到了一定的限制，而其可能造成的誤差亦無法準確地加以估計。

由於在均勻壓縮下的應力應變關係有著重大的意義，40 多年來，各國的科學家在這方面都做了許多工作<sup>[1-7]</sup>，想出了不少巧妙的方法來求出這一基本數據。不過前人的工作絕大多數只限於從外表或宏觀上來觀察變形是否均勻一致，而實際上在試樣的內部或在微觀結構上則變形不一定均勻。例如 Siebel 和 Pomp 的錐形壓板法<sup>[4]</sup> 和 Rumme<sup>[1]</sup>，

Meyer 与 Nehl 的三迭試样法<sup>[3]</sup>便已經被證明了<sup>[7,8]</sup>沒有得到均匀一致的变形。此外 Sachs<sup>[2]</sup>, Cook 和 Larke 法<sup>[10]</sup>以及同一类型的 Шофман 法<sup>[11]</sup>是由极不均匀变形的实验数据外推出来的,因此其可靠性是值得怀疑的。Taylor 和 Quinney 的方法<sup>[5]</sup>在压下率約 36% 的范围内便需要停止試驗和把試样重新施加潤滑剂 30 余次之多,不但手續麻煩,而且如是多次間歇地試驗得出的結果与一次連續变形所得的結果是不一致的<sup>[12]</sup>, 而其試样端面摩擦消除的效果亦只是凭外形的判断来决定的。

由于前人工作中并沒有充分証明其压缩变形是真正均匀一致的,因此不同科学工作者所得結果中存在的矛盾便无法解决。例如, Cook 和 Larke 的結果表明: 消除摩擦影响后的压缩应力应变曲綫是在沒有消除摩擦的曲綫之下,即摩擦力和不均匀变形的效果增加了变形中金属的抗力。而 Polakowski 的結果<sup>[7]</sup>则适得其反,即消除摩擦影响后的应力应变曲綫較未消除摩擦的曲綫为高,亦即摩擦力和不均匀变形減小了变形中金属的抗力。

由上可見,虽然前人在这方面已經做了不少工作,但是我們還沒有理由相信他們已經找到了在均匀压缩下金属的真应力真应变关系。問題的关键在于寻找一种切实可靠的方法以消除試样与压板間的摩擦,而同时还須要进行一系列的宏观和微观的觀察以証明試驗确实在均匀压缩之下进行的。

为了寻找金属在真正压缩变形下的应力应变关系和澄清前人結果中的矛盾現象,我們在 Суяров 等人<sup>[9]</sup>的工作基础上进行了研究。在 Суяров 等人的工作中并沒有詳細論述最好的試样尺寸,同时亦缺乏系統的实验結果,因此我們試驗了試样端面具有不同形状和大小的凹槽以求其最合适的形状和尺寸。本文着重叙述在常温和低速下的研究工作及其結果。目前这一工作正在向着高温和高速方面进行研究。本文中所述的工作仅是这一系統研究工作的一部分而已。

## 二、試样和試驗經過

为了确定消除摩擦效果最好的試样,我們試驗了端面具有螺旋槽、圓弧面槽和普通的整体凹槽三种試样。結果表明最后一种試样有最好的效果。这种試样的最好凹槽尺寸如

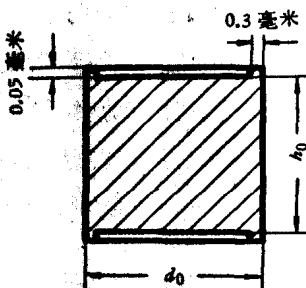


图 1 均匀压缩試样

图 1 所示。这种凹槽可以有效地保持压板与試样間的潤滑作用直至一次連續变形为 50% 以上,因此只須把端面重新切削一次至二次凹槽便可以达到 90% 的压缩率。由于凸边很小,仅 0.05 毫米高,在压下率的計算上引起的誤差很小,可以略去不計,而凸边的寬度亦很小,仅 0.3 毫米,因此試样的全部端面均为潤滑油所充滿,有效地消除了与压板間的摩擦。

試驗是在 50 吨 Amsler 万能材料試驗机上进行的。一共試驗了鉛、鋁、銅、阿姆可鐵、低碳鋼、重軌鋼、高碳工具鋼和球墨鑄鐵 8 种金属。試样的化学成分、大小和处理情况如表 1 所示。試驗速度全部保持在 1—2 毫米/分,潤滑剂一律采用了猪油。

表 1 試样的化学成分、尺寸和处理情况

材 料	化 学 成 分, %					試 样 尺 寸, 毫 米			处 理 情 况
	C	Mn	Si	P	S	高 $h_0$	直 径 $d_0$	$h_0/d_0$	
低 碳 鋼	0.189	0.5	0.2	0.026	0.034	20	15	1.33	850°C保溫半小时,空冷
重 軌 鋼	0.66	0.84	0.246	0.009	0.037	20	15	1.33	828°C保溫半小时,炉冷
碳素工具鋼	1.11	0.28	0.22	0.008	0.001	20	15	1.33	770°C保溫半小时,炉冷
球墨鑄鐵	3.4	1.88	0.56	0.073	0.006	20	15	1.33	石墨化處理
鉛	純度	98.55				15	15	1.0	鑄态
鋁	純度	99.94				20	15	1.33	400°C保溫半小时,炉冷
銅	純度	99.96				20	15	1.33	700°C保溫半小时,炉冷
阿 姆 可 鐵	純度	99.36				20	15	1.33	1,000°C保溫半小时,炉冷

为了把压缩試驗結果与拉伸变形下的应力应变关系作比較，我們在同一試驗机上进行了上述各种金属的抗张試驗。試样的尺寸为直径 10 毫米、标距 50 毫米，試驗速度为 1—2 毫米/分。和压缩試驗时一样，試样的变形是由千分表记录的。

### 三、均匀压缩变形的驗証

为了驗証試驗是在均匀压缩变形下进行，我們采取了下列 9 种不同的觀察方法：

1. 觀察試样的外形，其側面保持垂直，并无鼓起現象如图 2 所示。

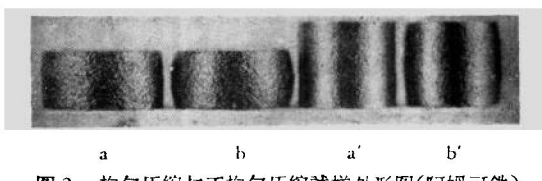


图 2 均匀压缩与不均匀压缩試样外形图(阿姆可鐵)  
a, a'——均匀压缩試样， b, b'——不均匀压缩試样。

2. 沿試样的高度上画了 7 条圓周線，把試样分为 8 等份。压缩后各等份的高度仍保持相等，如图 3 所示。

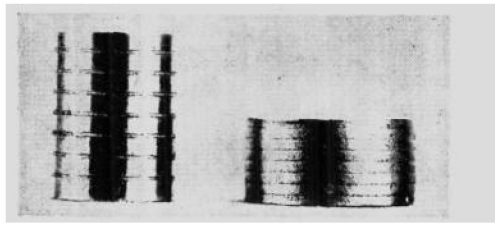


图 3 高度分为 8 等份后的均匀压缩試样  
a——原試样， b——均匀压缩 50%后的試样。

3. 觀察試样的端面状态，并无試样与压板互相接触所造成的光滑部分，而是較为粗糙，證明了潤滑是有效的。

4. 在試样的垂直剖面上进行硬度試驗，其結果如图 4 所示，均匀压缩后各部位的硬度

值相差甚微。

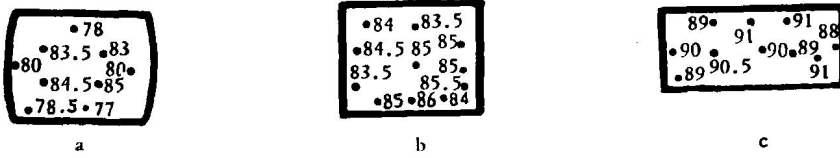


图 4 均匀压缩和不均匀压缩试样剖面上的硬度分布图(阿姆可铁)

- a——通常试样, 25%压缩率, 不均匀压缩。  
b——具有凹槽试样, 25%压缩率, 均匀变形。  
c——具有凹槽试样, 50%压缩率, 均匀变形。

5. 从低碳钢的中板上沿流线的方向切取试样, 均匀压缩后, 将其断面进行腐蚀, 结果表明流线仍保持垂直和平行, 有摩擦力作用时流线则发生严重的歪曲, 如图 5 所示。

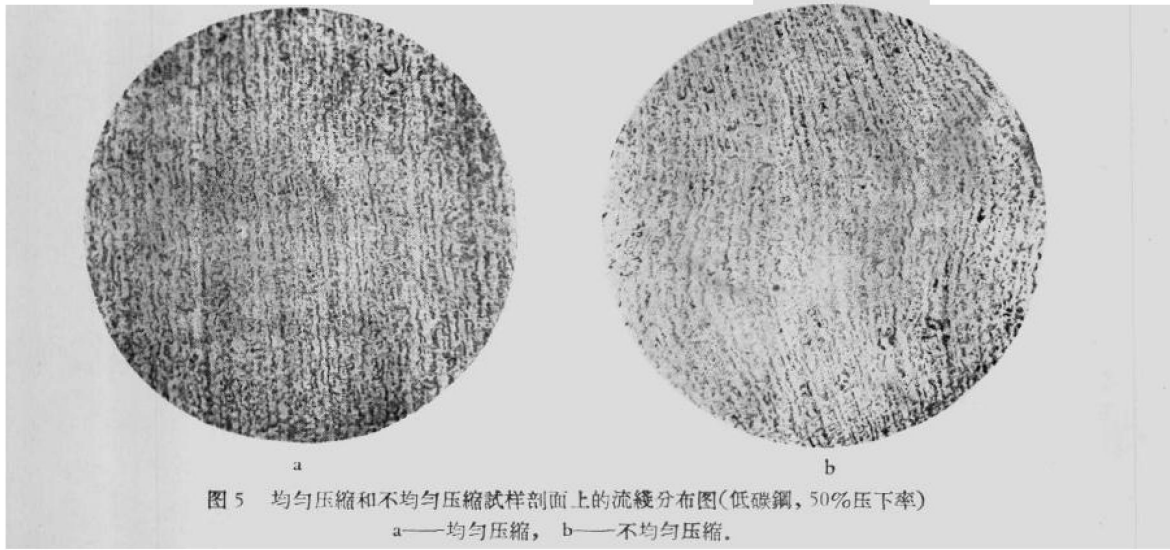


图 5 均匀压缩和不均匀压缩试样剖面上的流线分布图(低碳钢, 50%压下率)

- a——均匀压缩, b——不均匀压缩。

6. 将均匀变形和不均匀变形试样的端部、中心和侧面三部位取金相试片, 其结果示于图 6。在均匀变形试样中, 各部位晶粒的压扁变形程度很相近似, 而在不均匀变形时, 各部位的晶粒变形程度则很不一致: 端部晶粒的变形最小, 而中部最大。

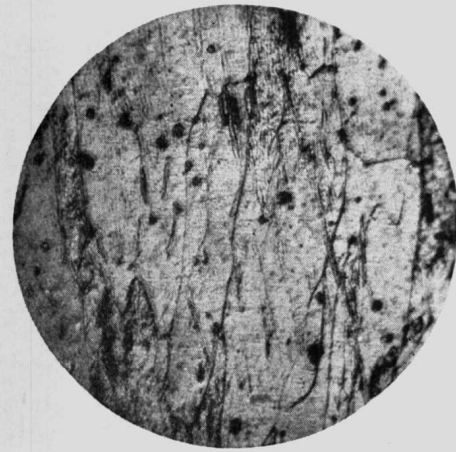
7. 从 850°C 保温半小时的重结晶退火处理后的阿姆可铁试样上, 如上述三部位切取金相试片以观察其晶粒大小。结果表明, 在均匀变形时, 各部位的晶粒度很相近似, 而不均匀变形时端部有最大的晶粒, 而中部的晶粒最小如图 7。

8. 从球墨铸铁的试样上按上述三部位切取试样以观察球墨的变形情况。结果示于图 8。由图可见: 均匀变形时, 各部位球墨的变形程度很相近似, 而不均匀变形时, 则端部有最小的变形, 中部有最大的变形。

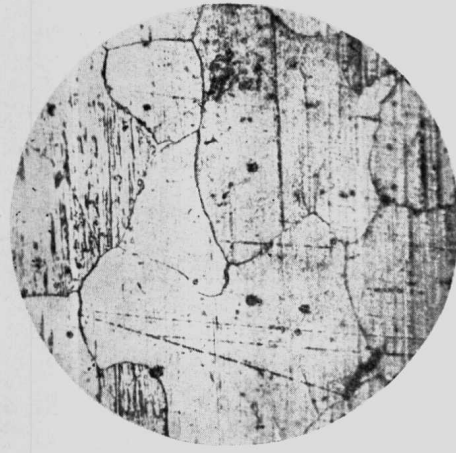
9. 用高度-直径比( $\frac{h_0}{d_0}$ )为 0.5, 0.8 和 1.33 的试样, 用消除和不消除摩擦的试验法求得其应力应变曲线, 结果示于图 9。由此可见: 消除摩擦后, 不同  $\frac{h_0}{d_0}$  比试样的应力应变曲线重合一致, 而未消除摩擦的曲线则随  $\frac{h_0}{d_0}$  比的减小而上移, 充分证明了摩擦力提高了变形



a 端部

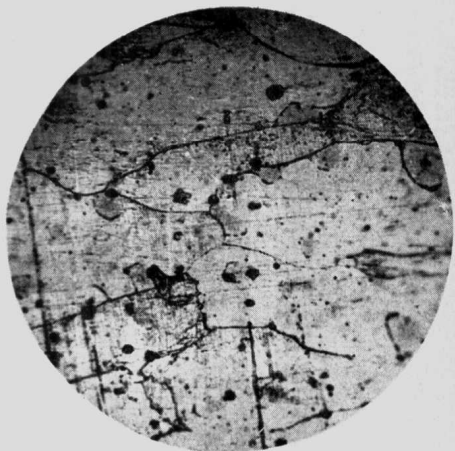


b 中部

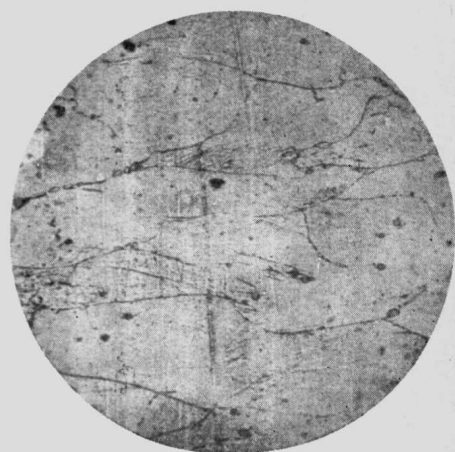


c 側部

图 6a 不均匀压缩下试样各部位的金相组织, 35×(阿姆可铁, 变形率 50%, 用硝酸酒精腐蚀)



a' 端部

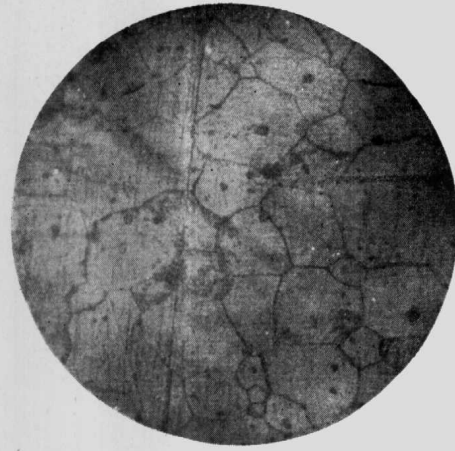


b' 中部

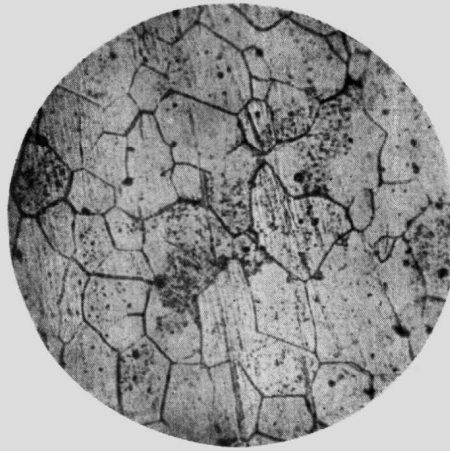


c' 側部

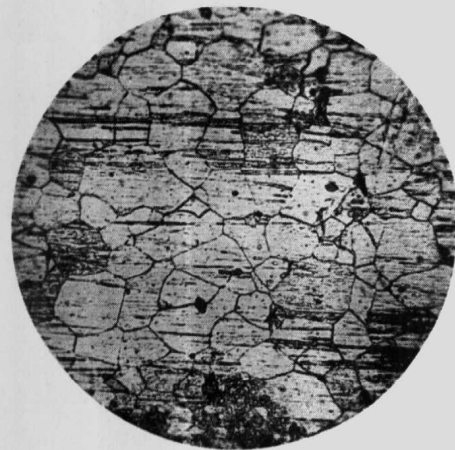
图 6b 均匀压缩下试样各部位的金相组织, 35×(阿姆可铁, 变形率 50%, 用硝酸酒精腐蚀)



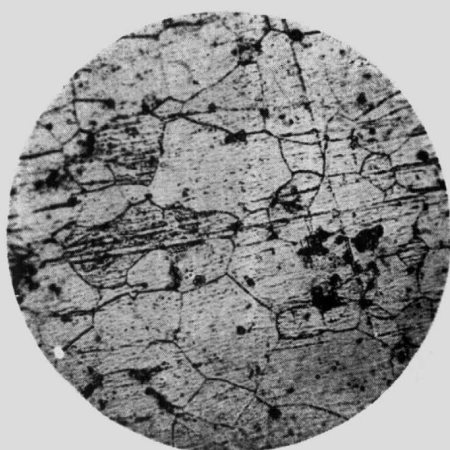
c 側部



c' 側部



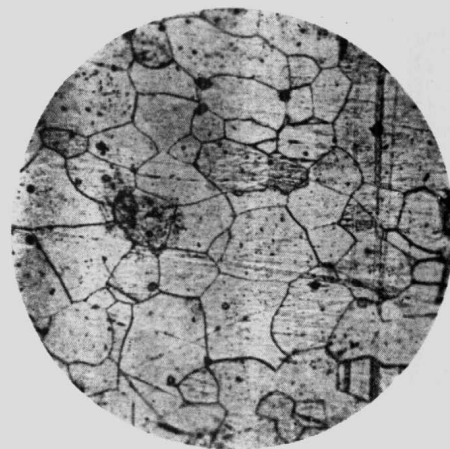
b 中部  
不均匀变形后, 135 ×



b' 中部  
均匀压缩变形后, 135 ×

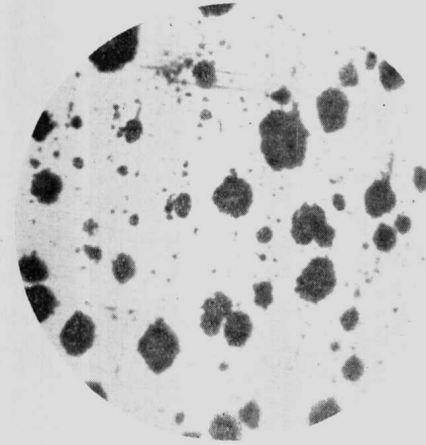


a 端部

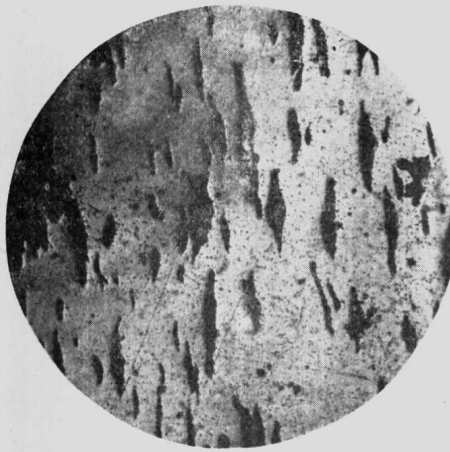


a' 端部

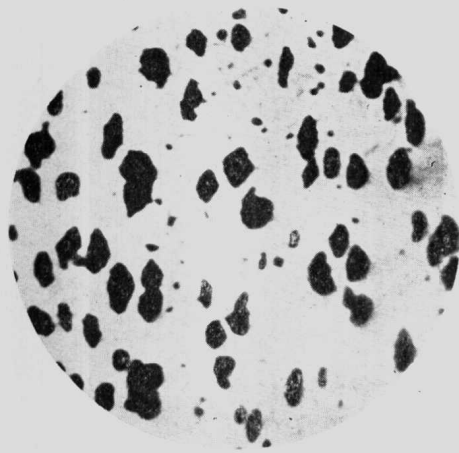
图 7 均匀和不均匀压缩后试样经重结晶退火后各部位的晶粒大小分布图(阿姆可铁, 变形率 50%, 经 850°C 保温半小时重结晶退火, 用硝酸酒精腐蚀)



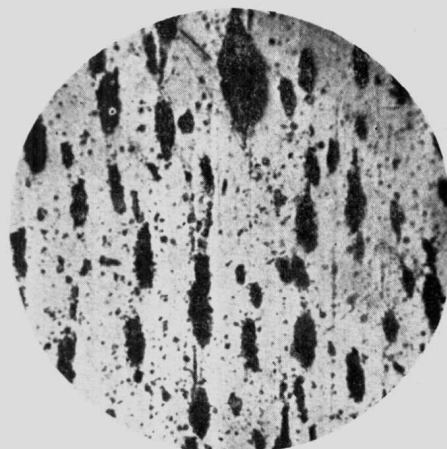
a' 端部



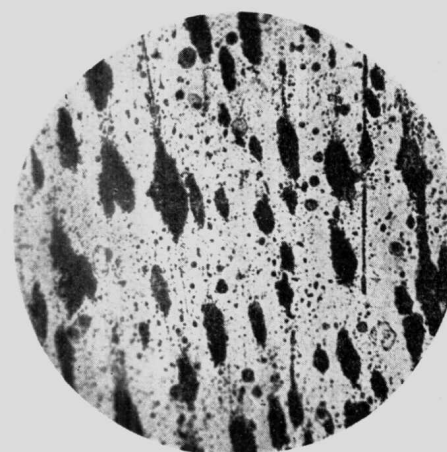
b' 中部  
不均匀变形, 90 ×



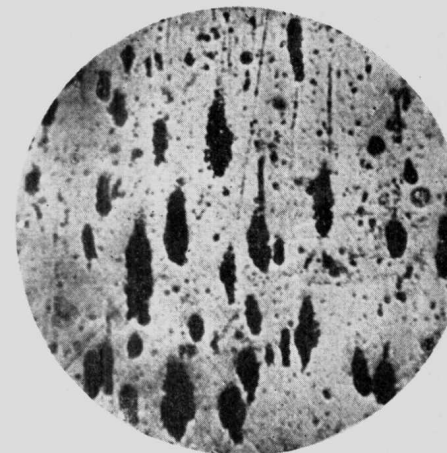
c' 侧部



a 端部



b 中部  
均匀变形, 90 ×



c 侧部

图 8 均匀和不均匀压縮后球墨的变形情况(球墨鑄鐵, 变形程度 50%, 未腐蝕)

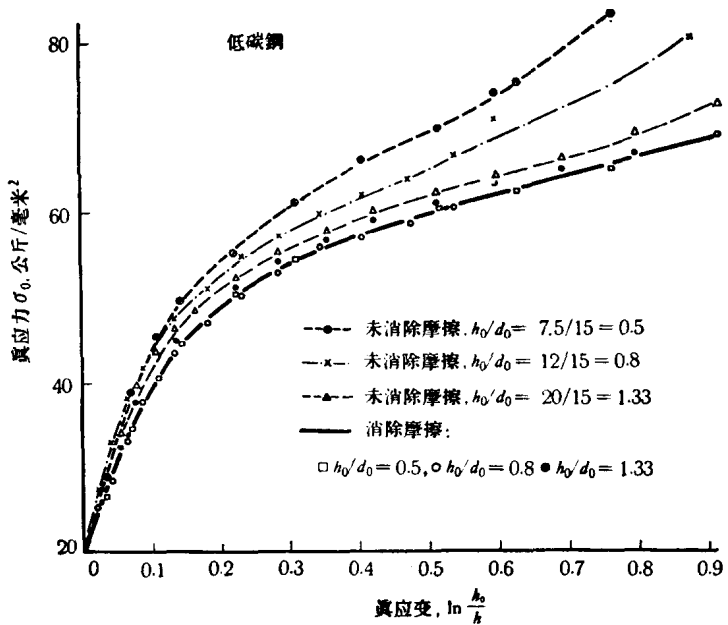


图 9 不同  $h_0/d_0$  比值对真应力-真应变曲线的影响(消除摩擦与未消除摩擦)

抗力,而我們所采用的方法达到了充分消除摩擦的目的。

从上述 9 种不同的觀察方法,可以肯定我們試驗中的壓縮是在均勻變形下進行的,其結果可以代表金屬在均勻壓縮變形下的真應力真應變關係。

#### 四、結果和討論

用各種金屬試驗得出的結果示於表 2 和圖 10。圖表中的數據均為 3—5 次試驗的平均值。一般在同一條件下重複試驗的結果很相近似。圖表中的真應力是從體積不變的條

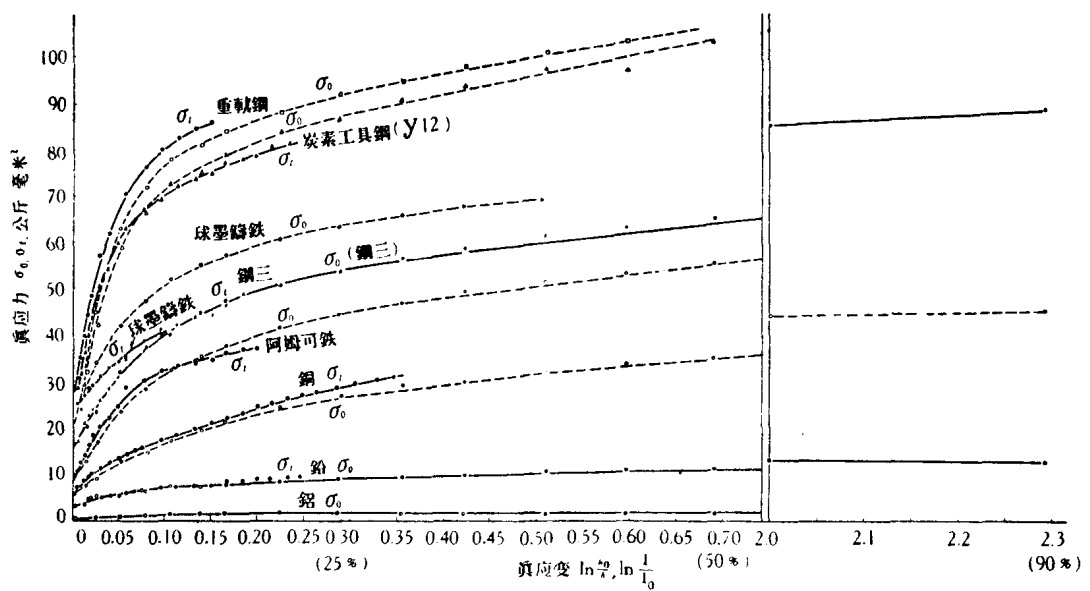


图 10 各种金属的抗张和均匀压缩真应力真应变曲线

表 2 均匀和不均匀压缩下的变形抗力

变形程度 %	真应变 $\ln \frac{h_0}{h}$	鉛		鋁		銅		阿姆可鐵		低碳鋼		重軌鋼		碳工具		素鋼		球墨鑄鐵	
		$\sigma$	$\sigma_0$																
1.25	0.013	0.4	0.3	—	4.5	8.4	7.71	14.4	13.3	21.8	20.9	32.6	32.1	30.3	29.6	30.2	29.7		
2.5	0.025	0.6	0.5	—	5.2	10.2	9.0	18.6	17.2	25.0	23.8	48.6	45.7	44.4	42.8	35.2	34.4		
5.0	0.051	1.1	0.9	6.3	6.0	13.9	12.8	25.3	23.8	34.2	32.2	66.2	63.5	61.3	59.9	43.6	42.4		
7.5	0.078	1.4	1.2	—	6.4	16.8	14.4	30.5	28.7	39.8	37.8	75.7	72.6	68.8	67.2	49.6	48.0		
10.0	0.105	1.7	1.5	7.4	7.0	19.4	17.4	34.1	32.8	43.6	42.0	81.5	78.2	74.1	72.9	53.4	52.1		
12.5	0.137	1.8	1.6	—	7.4	21.6	19.3	37.1	35.6	46.4	44.8	84.6	81.6	77.0	75.3	56.7	55.2		
15.0	0.164	1.8	1.6	8.3	7.8	23.6	21.4	39.4	37.9	48.6	47.3	87.3	84.4	80.8	79.3	59.0	57.5		
20.0	0.223	1.8	1.6	8.9	8.5	26.7	24.4	43.0	41.8	52.5	51.1	91.7	88.8	85.3	83.7	62.6	61.0		
25.0	0.287	1.8	1.6	9.6	9.1	29.2	27.0	45.7	44.5	55.3	54.0	94.6	92.0	88.8	87.3	65.0	63.8		
30.0	0.354	1.8	1.6	10.2	9.6	31.4	28.9	47.9	47.3	57.6	56.5	97.7	95.3	92.1	91.0	66.7	66.2		
35.0	0.422	1.8	1.6	10.7	10.2	33.3	30.2	50.0	49.6	60.0	58.8	100.3	98.8	95.6	94.1	68.4	68.2		
40.0	0.510	2.0	1.6	11.2	10.6	34.2	32.3	52.0	51.3	61.9	60.8	103.3	100.8	98.5	97.5	70.4	69.3		
45.0	0.597	2.1	1.6	11.7	11.0	36.7	33.9	53.5	53.0	63.9	62.7	106.0	103.5	101.5	97.0				
50.0	0.692	2.3	1.7	12.2	11.4	37.5	35.1	55.9	55.3	66.0	64.7	108.8	106.2	105.5	103.6				
55.0	0.797	2.7	1.7	—	11.9	38.6	37.0	58.3	57.0	68.9	66.5								
60.0	0.915	4.1	1.7	14.2	12.3	40.5	38.0	62.1	59.5	72.5	68.3								
65.0	1.045			15.2	12.9	42.7	39.4	66.8	62.4		70.4								
70.0	1.200				16.7	13.0	49.4	40.2	73.9	65.1		75.0							
75.0	1.383					19.5	13.2	55.3	41.5			75.5							
80.0	1.610					27.4	13.4		42.4			81.7							
85.0	1.900						13.9		44.1			85.9							
90.0	2.300						14.4		46.6			90.2							

注: 表中  $\sigma$  — 未消除摩擦时的变形抗力, 公斤/毫米<sup>2</sup>.

$\sigma_0$  — 消除摩擦后的变形抗力, 公斤/毫米<sup>2</sup>.

件下計算每一点相对应的真正断面積計算得出, 真应变則取  $\ln \frac{h_0}{h}$  和  $\ln \frac{l}{l_0}$ , 其中  $h_0$  和  $h$  为压縮試样的原始高度和压縮过程中每一測定点的高度,  $l_0$  和  $l$  各为抗张試样的原始标距长度和每一測定点时的长度. 抗张試驗曲綫仅取縮頸发生以前的部分.

从图 10 和表 2 可見:

1. 除鉛之外, 其他金属的真应力真应变曲綫均随真应变的增加而逐渐上升, 并无水平部分, 其中鋁和銅在真应变为 0.3 (变形率 25% 左右) 以下其加工硬化率較高, 在 0.3 以上則硬化率很低. 阿姆可鐵、球墨鑄鐵和各鋼种在真应力为 0.2 (变形率 20%) 以下其加工硬化率很高而在此真应变值以上則变得較为緩和. 鉛在真应变为 0.1 (变形率 10%) 以上均保持一定不变的真应力数值.

2. 鋁和低碳鋼的抗张試驗和压縮試驗真应力真应变曲綫完全符合一致. 銅和重軌鋼的压縮試驗曲綫均低于抗张試驗曲綫, 但相差不大. 球墨鑄鐵則适得其反, 其压縮試驗曲綫高于抗张試驗曲綫, 而且差別較大. 阿姆可鐵与碳素工具鋼的抗张試驗曲綫开始高于抗压試驗曲綫, 然后二曲綫交叉, 抗张曲綫在比較高的真变形下反較压縮試驗曲綫为低, 但是此二曲綫的差值較小.

3. 由表 2 可見，在全部試驗數值中，均勻壓縮變形抗力均較有摩擦力作用下的變形抗力為小，隨着壓縮率的增大其差別亦增大。

4. 為了與前人工作比較，我們把本試驗的結果與前人的結果列于表 3 和圖 11。由

表 3 不同作者所獲得的幾種金屬的變形抗力數據的比較，公斤/毫米<sup>2</sup>

金屬	作 者	變 形 程 度， %								
		10	20	30	40	50	60	70	80	90
銅	Siebel-Pomp	18.6	26.5	33.9	35.1	38.3	40.6	—	—	—
	Taylor-Quinney	18.2	26.3	30.8	34.3	36.3	38.1	39.7	40.8	39.4
	Cook-Larke	16.2	24.7	29.3	31.5	33.4	34.5	—	—	—
	Polakowski	19.1	26.7	31.5	34.6	36.3	39.0	42.3	43.1	48.5
	本試驗結果，均勻壓縮 $\sigma_0$	17.4	24.4	28.9	32.3	36.2	38.0	40.2	42.4	46.6
	本試驗結果，不均勻壓縮 $\sigma$	19.4	26.7	31.4	34.2	37.5	40.5	49.4	—	—
鋁	Polakowski	11.2	12.3	13.1	14.0	15.8	16.6	17.5	19.3	21.0
	$\sigma_0$	7.4	8.5	9.6	10.6	11.4	12.3	13.4	14.4	—
	$\sigma$	7.4	8.9	10.2	11.2	12.2	14.2	16.7	27.4	—
低 碳 鋼	Polakowski	51.5	62.0	68.5	73.4	78.0	83.3	89.3	96.5	103.1
	Шофман	50.0	60.0	64.0	70.0	72.0	73.0	—	—	—
	$\sigma_0$	42.0	51.1	56.6	60.8	64.7	68.3	75.0	81.7	90.2
	$\sigma$	43.6	52.5	57.6	61.9	66.0	72.5	—	—	—

此可見，在銅的結果中，Cook 和 Larke 的結果有最低的數值。我們均勻壓縮變形的結果在壓縮率為 70% 以下與 Taylor 和 Quinney 的結果很接近。Polakowski 的結果在壓縮率為 60% 以下與我們未消除摩擦的結果很接近。

分析了上述結果可見：

1. 重結晶溫度為室溫附近的鉛在均勻壓縮變形時，其變形抗力保持了一定不變的數

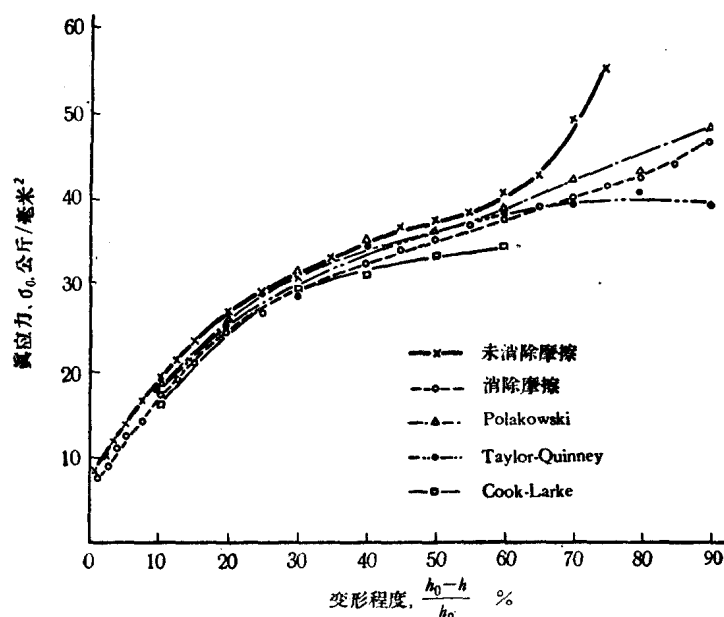


圖 11 不同作者所得的銅的應力-應變曲線比較圖

值，这可能是由于加工硬化和重结晶过程得到了平衡之故。在其余的金属中则变形抗力随变形量的增加而增加，不过开始时加工硬化率较高，压下率为 20—25% 以上则加工硬化率有较低的数值。由于这些金属的重结晶温度均远高于室温，这些曲线便真正代表了这些金属在均匀压缩下的加工硬化特性。

2. 在张应力和压应力作用下，铝和低碳钢的真应力真应变曲线在实验所及的范围内是完全符合的。铜、阿姆可铁和碳素工具钢的两种曲线相差不大，但球墨铸铁有最大的差别。由是可见，基体比较均匀一致的金属和合金，其抗张和抗压的应力应变关系是很接近的。至于基体组织较为复杂的金属如球墨铸铁，则由于石墨球在基体中可能起着切口和应力集中的作用，因此对张应力和压应力的反应便有所不同<sup>[10]</sup>。

3. 均匀压缩变形的抗力比较有摩擦力作用时为小，尤以  $\frac{h_0}{d_0}$  比较小时为甚（见图 9）。

由于摩擦力的作用造成了三向压应力体系，提高了金属的变形抗力，因此在均匀压缩下有较小的变形抗力是合理的。在所有试验过的金属中以铅的消除摩擦效果最为显著，在全部试验过程中均匀变形的曲线，均在有摩擦作用下的曲线之下，如图 12 所示。

4. 我们求得均匀压缩变形下的真应力真应变曲线可用于考查前人的结果，同时亦有助于澄清前人结果中互相矛盾的现象。Polakowski 的试验，由于其试样端面的摩擦并没有完全消除，故有可能获得偏高的数值。而 Cook 和 Larke 的试验由于采用了外推法，便很可能获得偏低的结果。

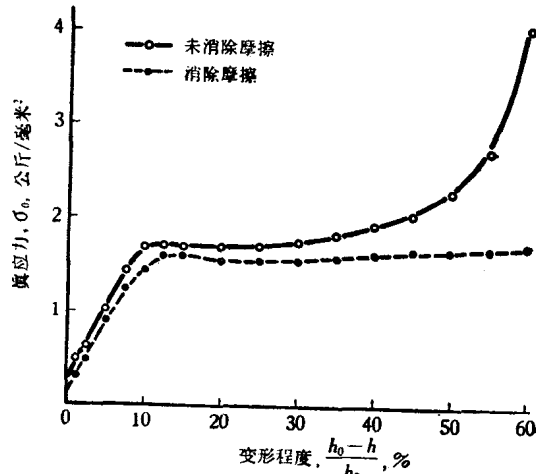


图 12 铅的真应力-变形程度曲线  
(消除摩擦与未消除摩擦)

## 五、結論

- 采用了 9 种宏观和微观的观察方法，我们充分证明了端部具有本文中所描述的凹槽的试样可以得到均匀的压缩变形，得出金属在均匀压缩下的真应力真应变关系。
- 本研究工作中求得的真应力真应变曲线真实地反映了各主要金属在压缩变形下的本质：例如其在低速和室温下的加工硬化特性等，除铅之外所有金属都表现了随着变形量的增加变形抗力亦不断地增加，不过其加工硬化率在压缩率为 25% 以下有较高的数值，在 25% 以上则硬化率较小而趋向一稳定的数值。
- 除球墨铸铁外，其他金属的抗张和均匀压缩曲线均很接近或重合一致（如铝和低碳钢），但球墨铸铁则有较大的差别。这反映了基体较为均匀的金属对张应力和压应力的反应是基本上相同的，但基体很复杂的金属特别是如球墨铸铁中的石墨球可能起着切口和